



1/12
J.O. Kephart et al
D.M.S. YO998-0143

09/061,706

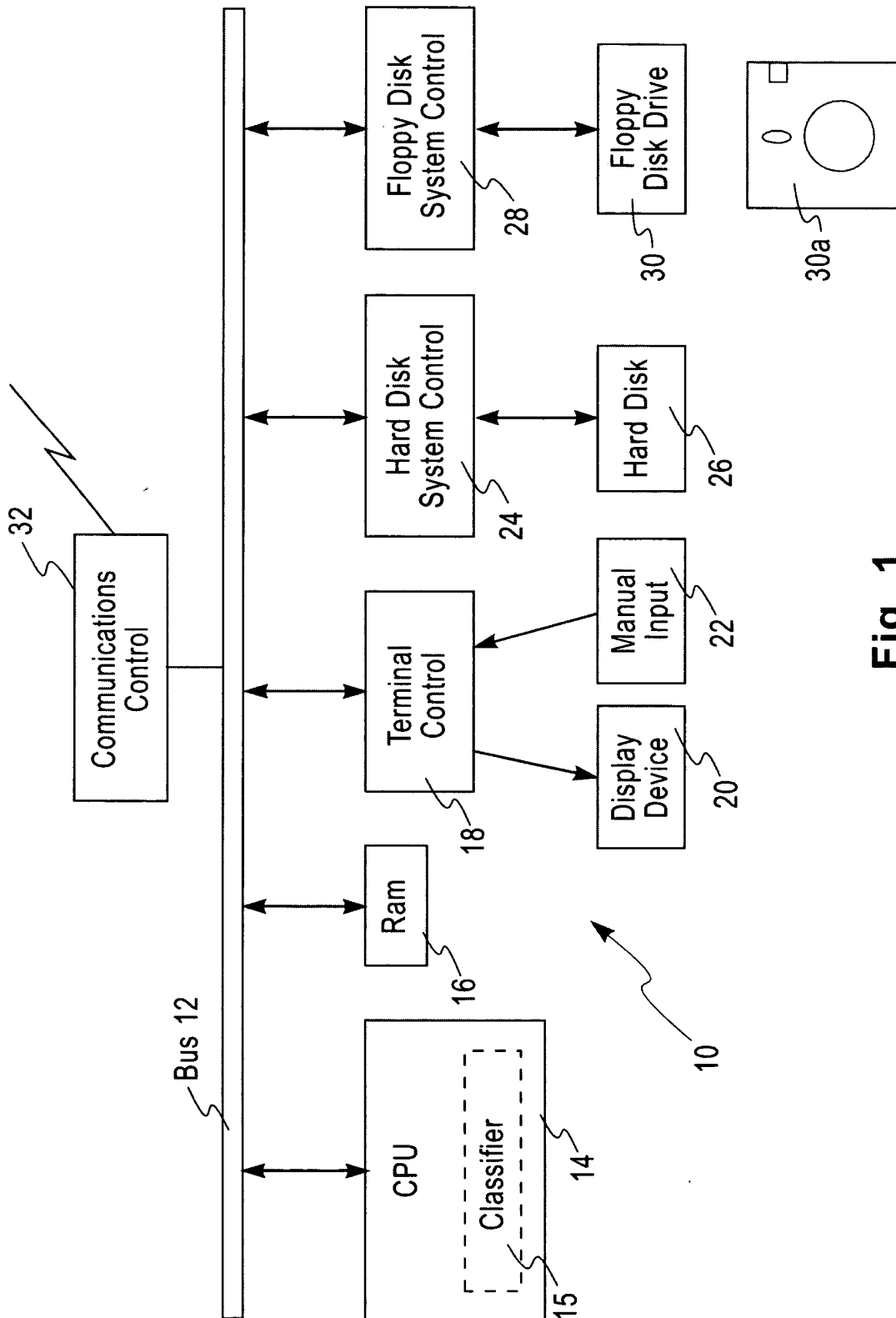


Fig. 1

2/12
J.O. Kephart et al
D.M.S. YO998-0143

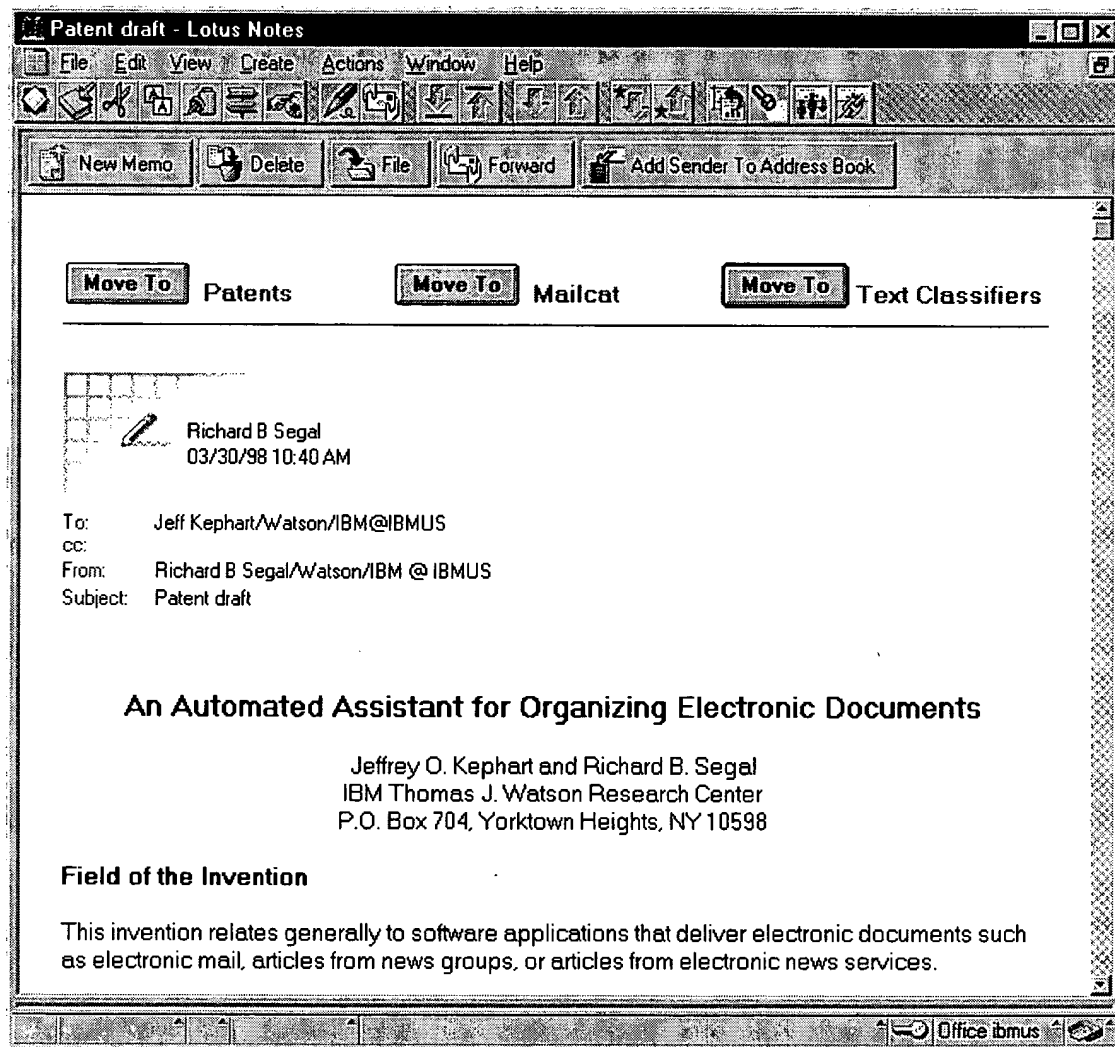


Fig. 2

3/12
J.O. Kephart et al
D.M.S. YO998-0143

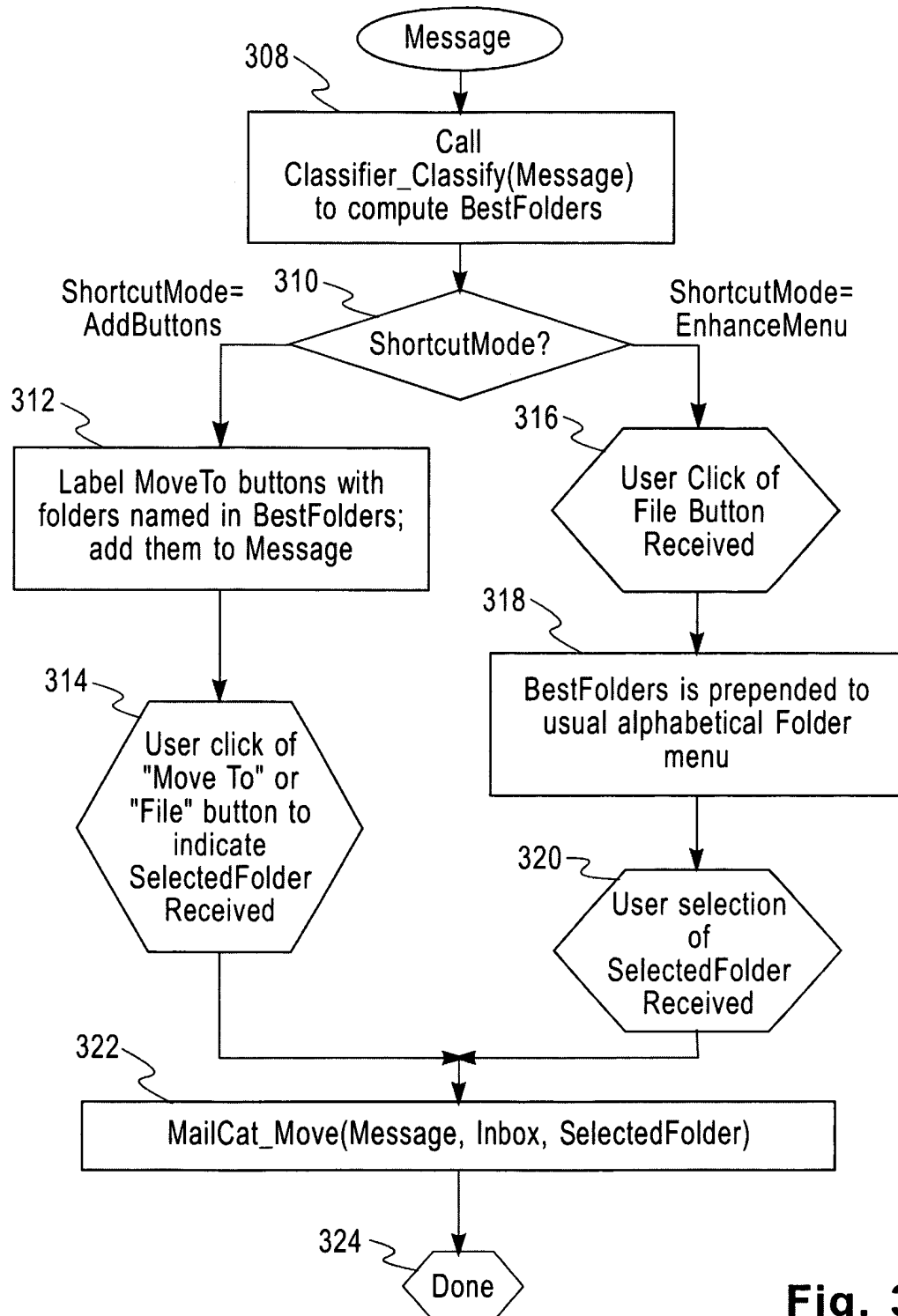


Fig. 3

4/12
J.O. Kephart et al
D.M.S. YO998-0143

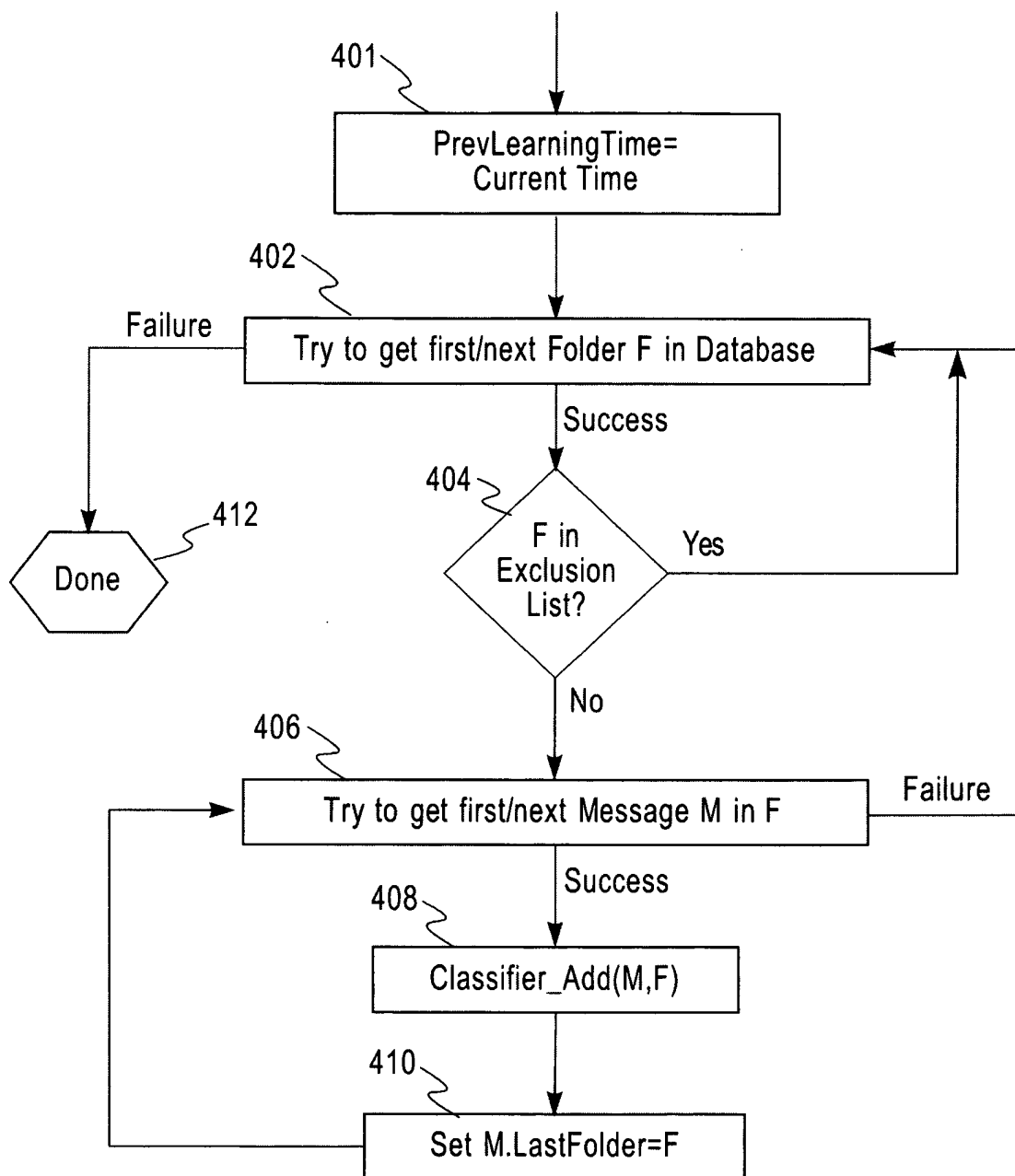


Fig. 4

5/12
J.O. Kephart et al
D.M.S. YO998-0143

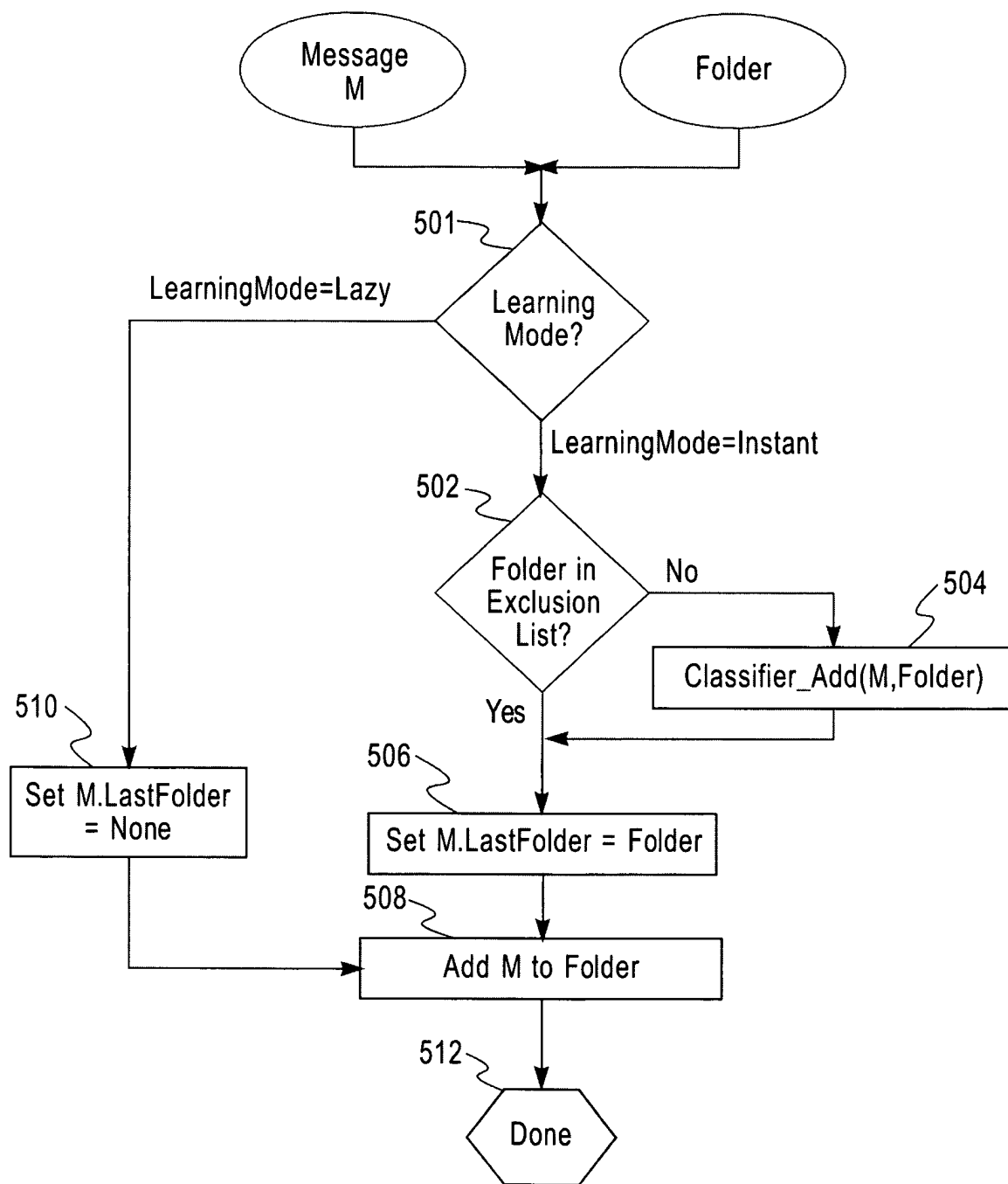
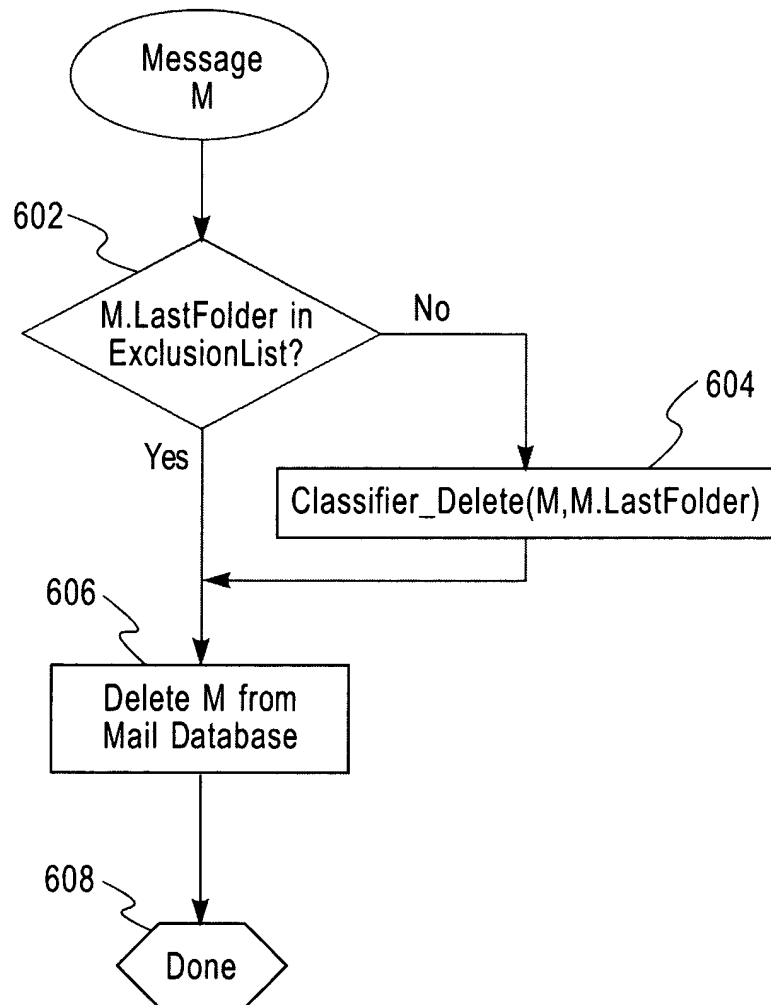


Fig. 5

**Fig. 6**

7/12
J.O. Kephart et al
D.M.S. YO998-0143

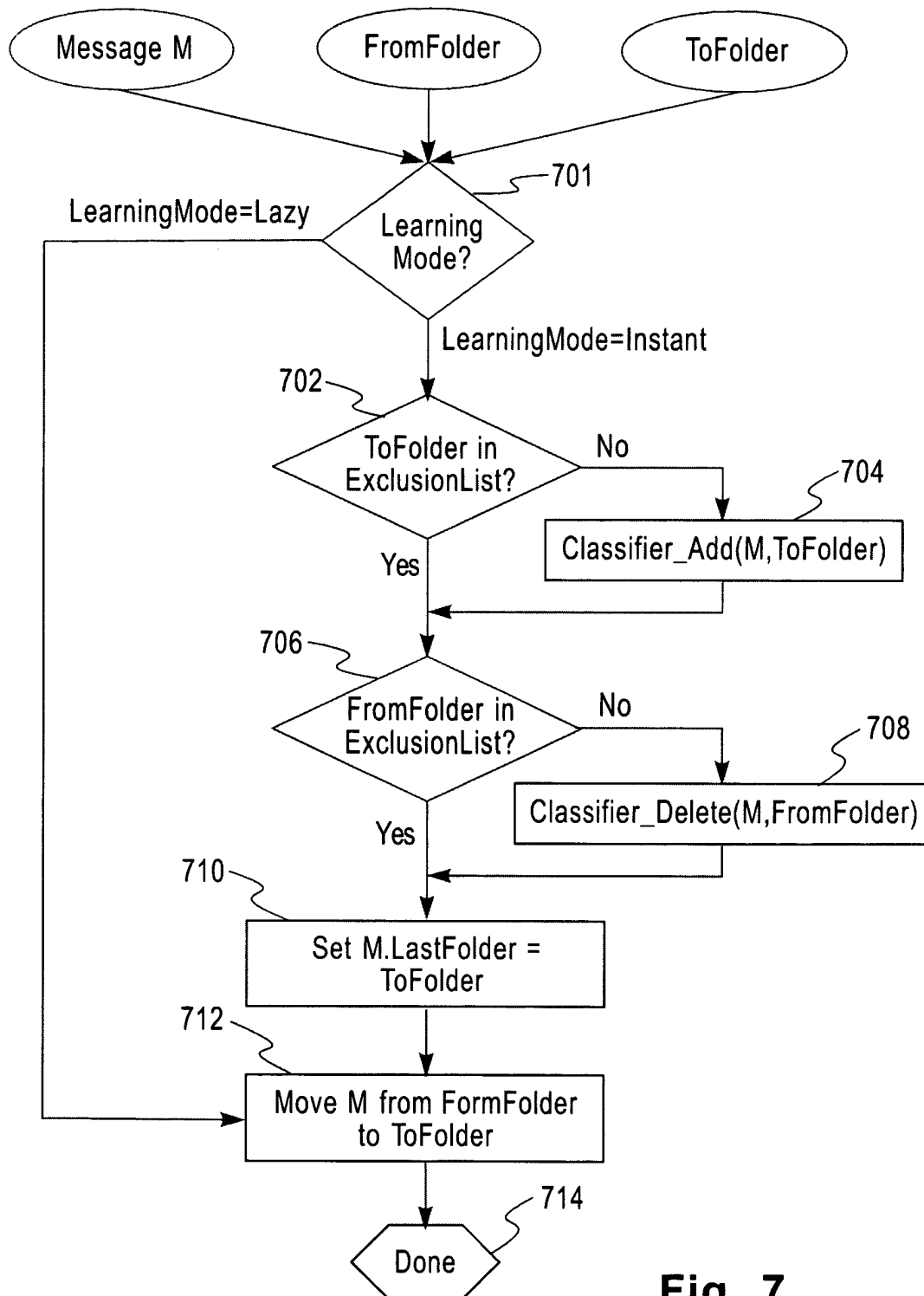


Fig. 7

8/12
J.O. Kephart et al
D.M.S. YO998-0143

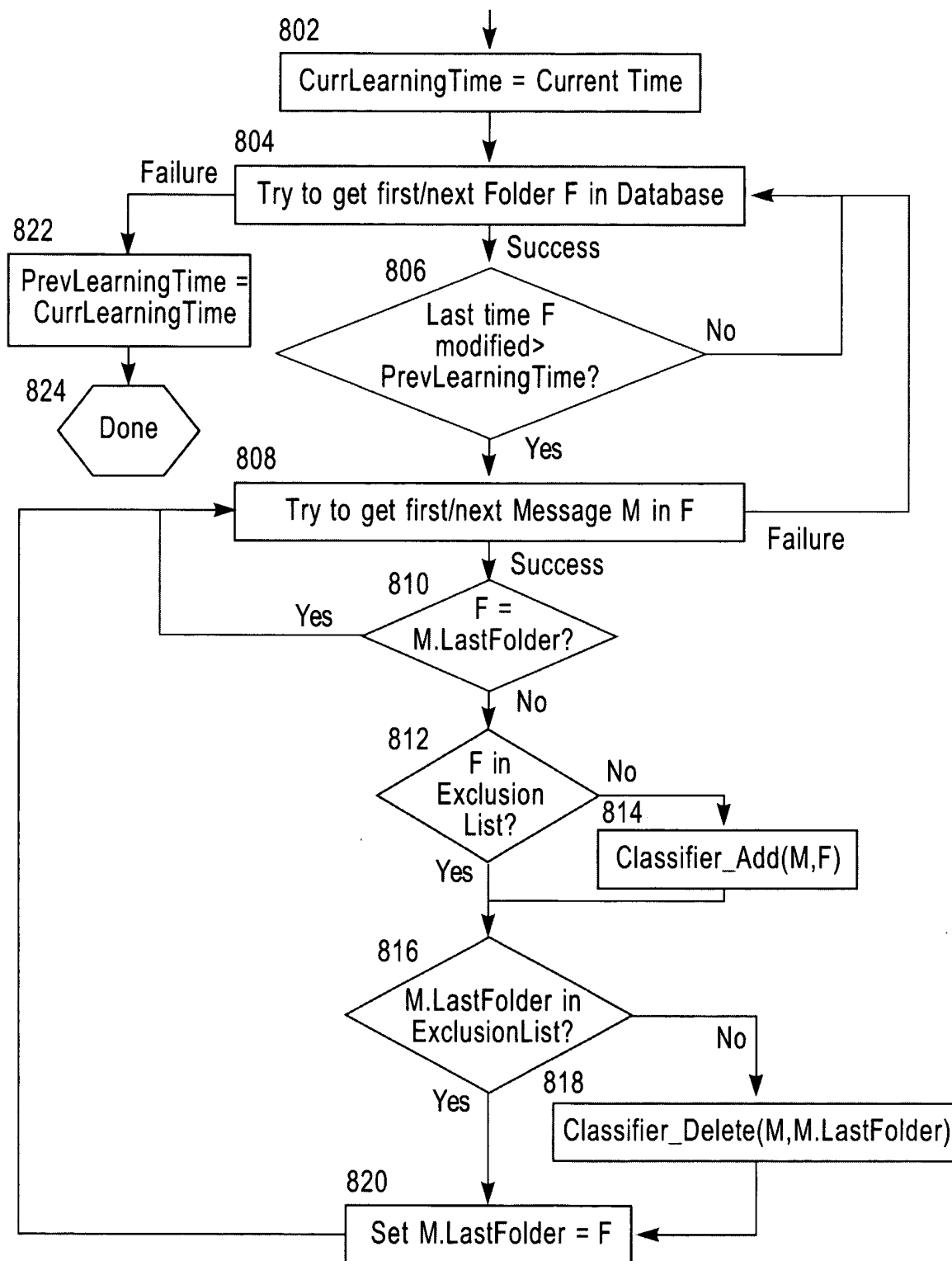


Fig. 8

Incremental Learning Update

9/12
J.O. Kephart et al
D.M.S. YO998-0143

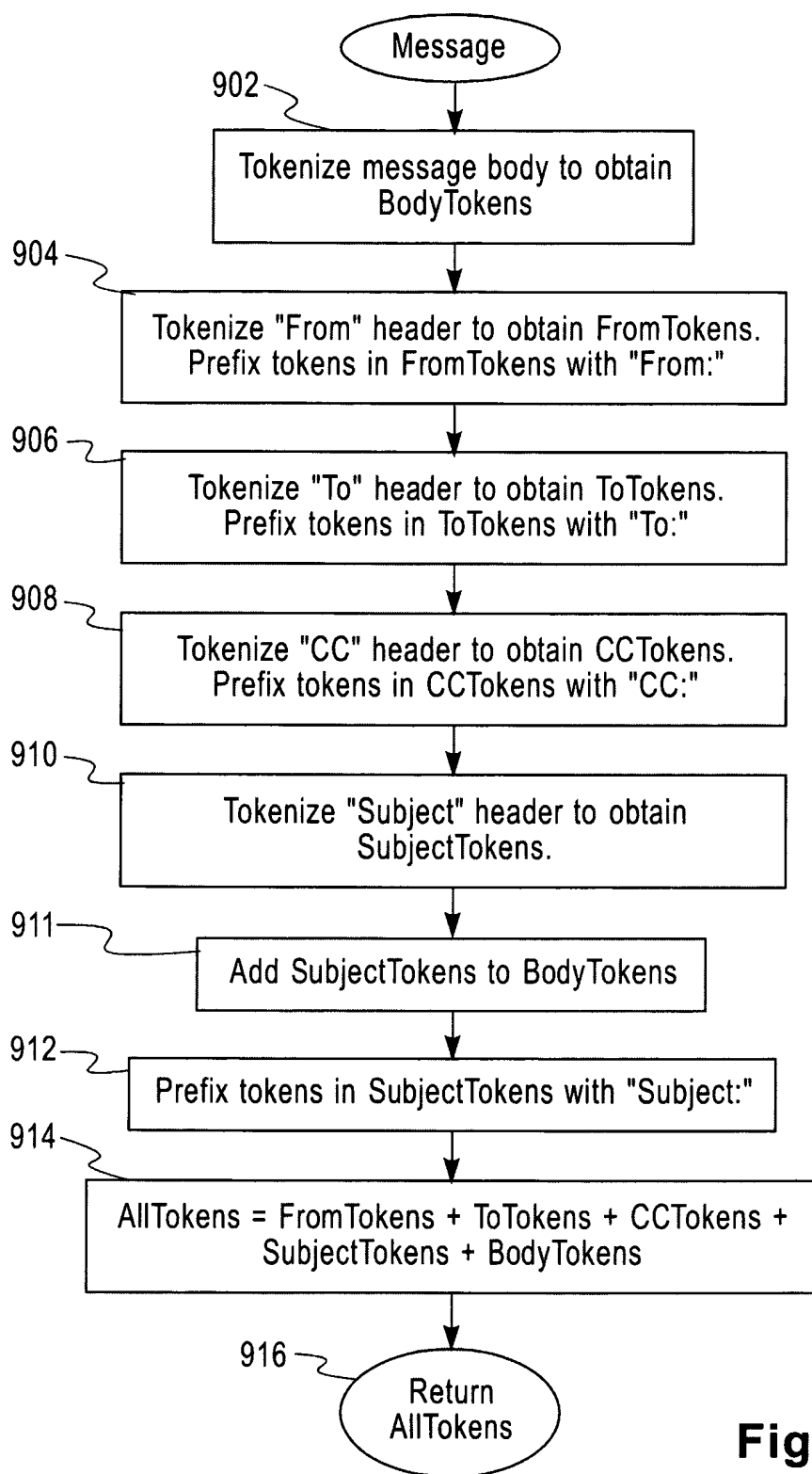


Fig. 9

10/12
J.O. Kephart et al
D.M.S. YO998-0143

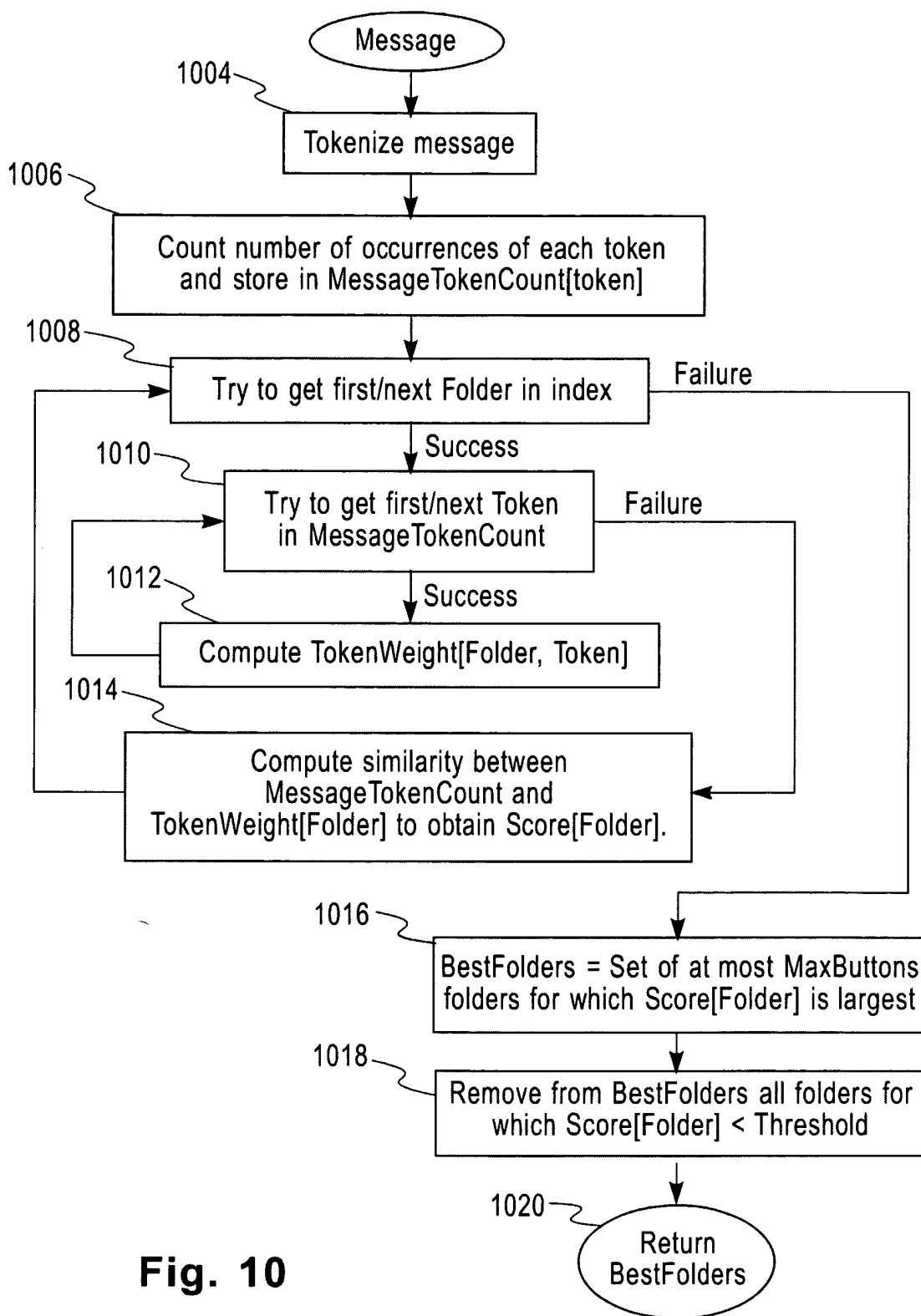
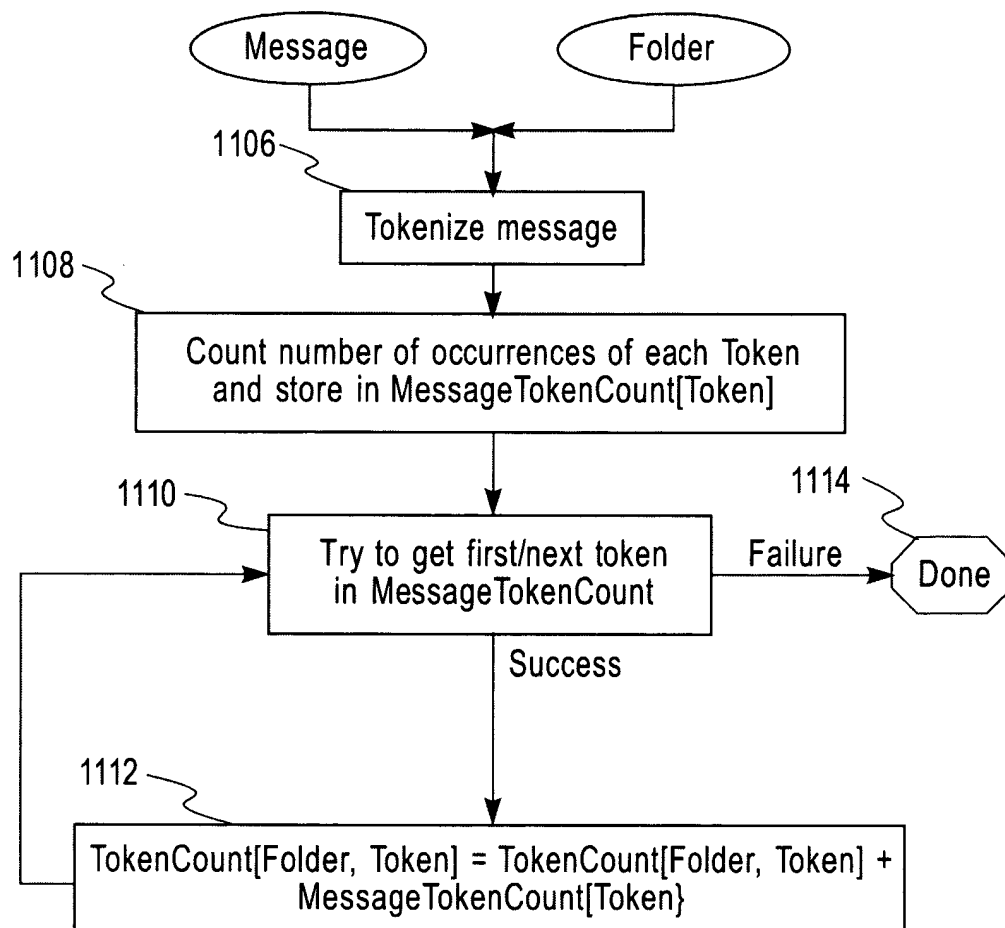


Fig. 10

**Fig. 11**

12/12
J.O. Kephart et al
D.M.S. YO998-0143

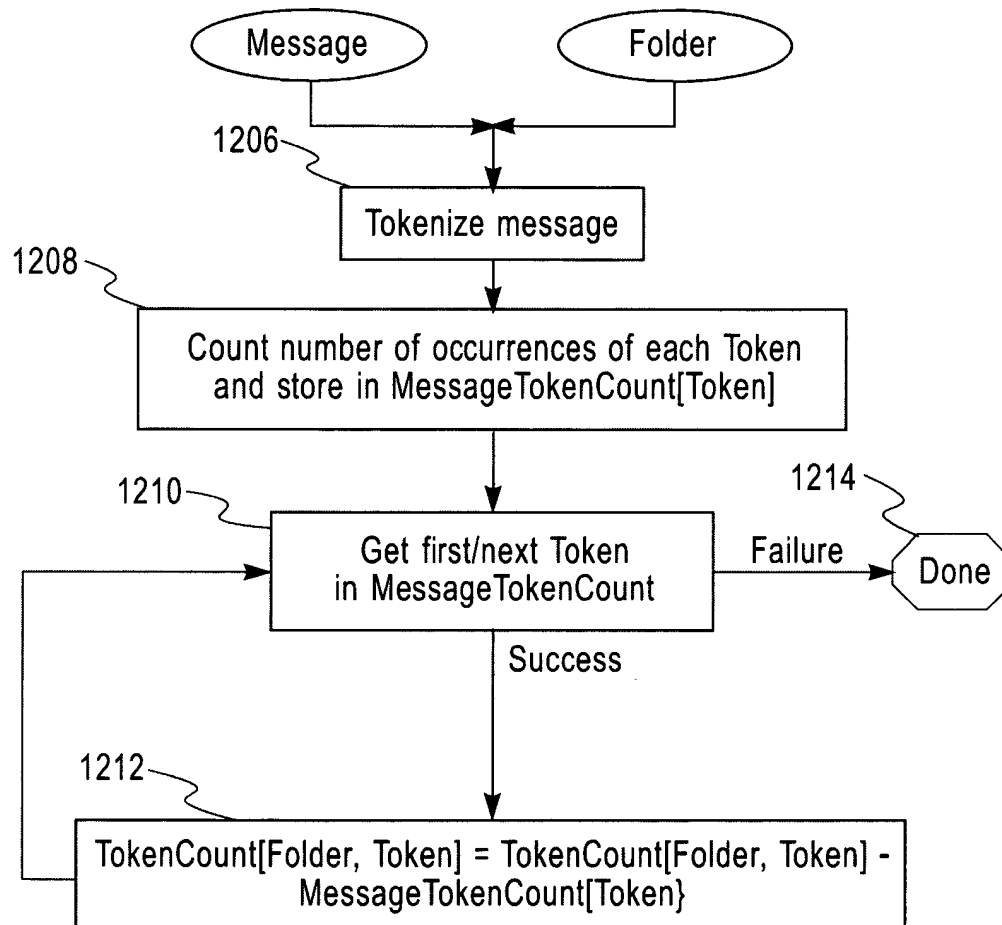


Fig. 12